

# **CAPITOLO 6**

## **COME SCRIVERE UN ARTICOLO SCIENTIFICO**

# 6.1 CENNI PRELIMINARI

La scrittura è intrinsecamente un processo creativo.

Non devi essere un bravo scrittore per scrivere un buon articolo scientifico. Il motivo è questo: esiste una **struttura** su come organizzare un documento scientifico, in modo che lo scienziato / scrittore possa concentrarsi su ciò che sa meglio - la scienza - e preoccuparsi meno della scrittura.

Per il documento scientifico, l'enfasi deve sempre rimanere sulla scienza, con le parole semplici e concetti mai ambigui per trasmettere in modo efficace le informazioni.

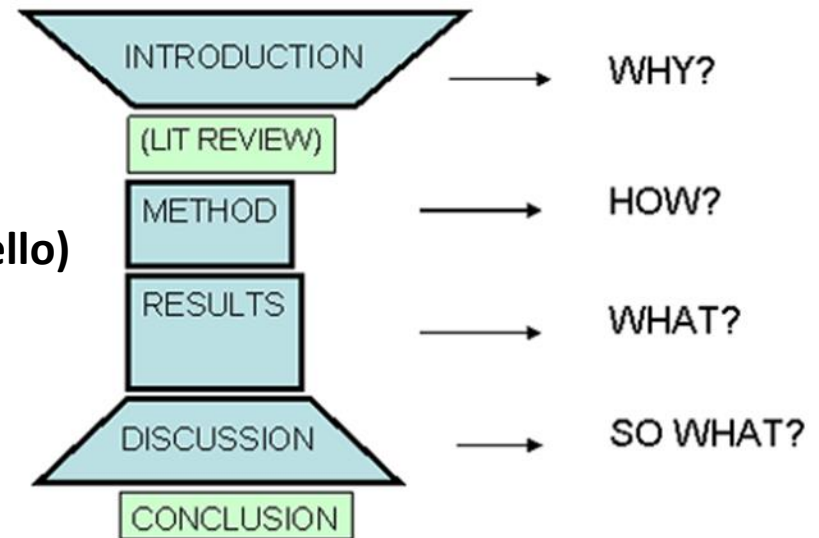
Un documento scientifico non deve essere tutto per tutti. È un genere ristretto con uno scopo ristretto (sebbene molto importante). Una specifica comunità scientifica non è un campionamento casuale di umanità, ma un gruppo che condivide un background scientifico di base stabilito e compreso, un insieme ampiamente concordato di obiettivi comuni e un insieme già stabilito di meccanismi per la comunicazione delle informazioni.

L'autore è quindi vincolato sotto molti aspetti. Ma questi vincoli liberano l'autore e il lettore a concentrarsi solo sul contenuto, e questo in ambito scientifico si traduce in un documento migliore.

# 6.2 STRUTTURA DI UN ARTICOLO SCIENTIFICO

La stragrande maggioranza degli articoli pubblicati su riviste scientifiche segue una struttura abbastanza semplice. Con alcune varianti, la maggior parte dei documenti utilizza un formato "**IMRaD**":

- **Introduzione**
- **Metodo (esperimento, teoria, design, modello)**
- **Risultati e discussione**
- **Conclusioni**



Esistono due vantaggi principali nel seguire la struttura **IMRaD**:

1. rende più semplice per lo scrittore organizzare il contenuto del documento
2. rende più facile per il lettore trovare opportunisticamente le informazioni che cercano.

# 6.2 STRUTTURA DI UN ARTICOLO SCIENTIFICO

## 6.2.1 Introduzione

La sezione Introduzione dovrebbe rispondere a due domande:

- 1. Di cosa tratta l'articolo?**
- 2. Perché dovrebbe interessarsi al lettore?**

Pertanto, un'introduzione dovrebbe informare il lettore su cosa sia il documento e motivare il lettore a continuare a leggere.

### **Cosa deve contenere un'introduzione?**

Il flusso del discorso di una buona introduzione deve iniziare con il generale per poi passare allo specifico.

La struttura dovrebbe seguire questi punti chiave:

1. Stabilire un territorio, indicando qual è il campo di lavoro, perché questo campo è importante e soprattutto cosa è stato già fatto
2. Stabilire un campo di esplorazione, indicando una lacuna, sollevare un punto di domanda, sfidare i lavori precedenti.
3. Delineare lo scopo e annunciare la presente ricerca.

# 6.2 STRUTTURA DI UN ARTICOLO SCIENTIFICO

## 6.2.1 Introduzione

Alcune insidie comuni nello scrivere un'introduzione:

- fornire informazioni di base non necessarie (che dicono al lettore ciò che già sanno o che non hanno bisogno di sapere)
- esagerare sull'importanza del lavoro
- non chiarire a quali domande di ricerca questo documento sta cercando di rispondere.

*Proviamo a ritrovare questa struttura in un articolo pubblicato su  
Applied Physics Letters*

APPLIED PHYSICS LETTERS **103**, 021105 (2013)



### **Terahertz quartz enhanced photo-acoustic sensor**

S. Borri,<sup>1</sup> P. Patimisco,<sup>2</sup> A. Sampaolo,<sup>2</sup> H. E. Beere,<sup>3</sup> D. A. Ritchie,<sup>3</sup> M. S. Vitiello,<sup>4</sup>  
G. Scamarcio,<sup>1,2</sup> and V. Spagnolo<sup>1,2,a)</sup>

<sup>1</sup>IFN-CNR UOS Bari, via Amendola 173, 70126 Bari, Italy

<sup>2</sup>Dipartimento Interateneo di Fisica, Università e Politecnico di Bari, Via Amendola 173, 70126 Bari, Italy

<sup>3</sup>Cavendish Laboratory, University of Cambridge, J. J. Thomson Avenue, Cambridge CB3 0HE,  
United Kingdom

<sup>4</sup>NEST, CNR - Istituto Nanoscienze and Scuola Normale Superiore, Piazza San Silvestro 12, 56127 Pisa, Italy

# 6.2 STRUTTURA DI UN ARTICOLO SCIENTIFICO

## 6.2.1 Introduzione

Recent technological innovation in photonics and nanotechnology is now enabling Terahertz (THz) research to be applied in an increasingly wide variety of applications, such as information and communications technology, medical sciences, global environmental monitoring, homeland security, quality and process controls. Most of the above applications involve the use of THz spectroscopic systems. Explosives, narcotics, and toxic gases (i.e., carbon monoxide, hydrogen cyanide, hydrogen chloride and methanol) have indeed distinct spectral “fingerprints” and strong absorption bands across the THz range.

To address the above application requirements, suitable sensing systems equipped with high power, widely tunable sources, and high speed, high sensitivity detectors have to be developed. To date, only a few systems have been successfully demonstrated to operate across the far-infrared. Photomixing-based sensors in the 0.5–1.5 THz range have been recently proposed<sup>1</sup> for detection of HCN, CO, H<sub>2</sub>CO, reaching sensitivities of 9 parts per million in volume (ppm), 0.1% and 114 ppm, respectively. Broadband OCS, N<sub>2</sub>O, and CH<sub>3</sub>OH sensors at 0.5 THz, based on chirped-pulse THz absorption spectroscopy, have been also demonstrated, reaching noise equivalent concentration of a few hundreds ppm.<sup>2</sup> Methyl chloride detection in the ppm range with long-baseline THz spectroscopy based on a White cell design has been also reported.<sup>3</sup>

**CAMPO DI LAVORO:**  
Applicazioni che richiedono sorgenti THz

**COSA E' STATO GIA' FATTO**

# 6.2 STRUTTURA DI UN ARTICOLO SCIENTIFICO

## 6.2.1 Introduzione

The described systems suffer from the low power levels of the employed THz sources and/or the low sensitivity of the detection units. THz quantum cascade lasers (QCLs) can offer a significant improvement in terms of compactness and sensitivity levels, stemming from the single-mode high spectral purity emission,<sup>4</sup> the relatively broad tunability range (up to 10% of the central frequency),<sup>5</sup> the high continuous wave (CW) output power levels (up to 138 mW),<sup>6</sup> and the relatively good compactness provided by Stirling cryocooler systems. THz QCLs have indeed recently demonstrated interesting performance in high resolution molecular spectroscopies, in both direct absorption<sup>7-10</sup> or wavelength modulation spectroscopy,<sup>11</sup> showing a minimum detectable absorption  $\alpha_{\min}$  in the  $10^{-6} \text{ cm}^{-1} \text{ Hz}^{-1/2}$  range, mostly thanks to the employed sensitive cryogenic detectors. Improving such detection sensitivities requires either switching to novel low noise equivalent power (NEP) room temperature nano-detectors,<sup>12,13</sup> or moving to alternative high performance spectroscopic techniques.



**LACUNA DEI  
SISTEMI GIA'  
ESPLORATI**

# 6.2 STRUTTURA DI UN ARTICOLO SCIENTIFICO

## 6.2.1 Introduzione

Quartz-enhanced photo-acoustic spectroscopy (QEPAS) showed high sensitivity, fast time-response and high compactness in the near-IR and mid-IR spectral ranges. The distinguishing feature of QEPAS is the use of a low loss quartz tuning fork (QTF) for detection of the optically generated sound.<sup>14</sup> Very efficient mid-IR QCL-based QEPAS sensors have been recently demonstrated for trace detection of several chemical gas species,<sup>14-17</sup> with a record normalized noise-equivalent absorption (NNEA) sensitivity of  $2.7 \times 10^{-10} \text{ W}\cdot\text{cm}^{-1}\cdot\text{Hz}^{-1/2}$  ( $1\sigma$ ) for  $\text{SF}_6$ ,<sup>18</sup> corresponding to an  $\alpha_{\min}$  of  $1.5 \times 10^{-8} \text{ cm}^{-1}\text{Hz}^{-1/2}$  and a detection limit of 50 parts per trillion (ppt) in 1 s. One of the main advantages of the photoacoustic spectroscopy techniques is that no optical detection is required.<sup>19</sup> Thus, the extension of the QEPAS technique in the THz range would allow to avoid the use of low-noise but expensive, bulky, and cryogenic bolometers.



**CAMPO DI  
ESPLORAZIONE**

# 6.2 STRUTTURA DI UN ARTICOLO SCIENTIFICO

## 6.2.1 Introduzione

Standard QTFs have resonance frequencies of  $\sim 32.7$  kHz and are characterized by a very small sensitive volume between its prongs ( $\sim 0.3 \times 0.3 \times 3$  mm<sup>3</sup>). In QEPAS experiments, it is critical to avoid laser illumination of the QTF, since the radiation blocked by the QTF prongs results in an undesirable non-zero background. This background can be several times larger than the thermal noise level of QEPAS and carries a shifting fringe-like interference pattern, which strongly limit the sensor detection sensitivity.<sup>18,20</sup> The reduced space ( $300$   $\mu$ m) between the QTF prongs, comparable with the wavelength of THz sources, so far has represented the main limitation preventing the use of QEPAS system in THz range. Larger size QTFs are, therefore, mandatory to operate in the THz range.



**SFIDA**

# 6.2 STRUTTURA DI UN ARTICOLO SCIENTIFICO

## 6.2.1 Introduzione

In this paper, we report on the development of a THz QEPAS sensor employing a 3.93 THz QCL and custom-made QTF. Standard photolithographic techniques were used to etch the custom QTF, starting from z-cut quartz wafer. Chromium/gold contacts were deposited on both sides of the QTF. The overall QTF dimension was  $3.3\text{ cm} \times 0.4\text{ cm} \times 0.8\text{ cm}$ ; each prong was 2.0 cm long and 2.5 mm wide. The gap between the prongs was  $\sim 1\text{ mm}$ . The QTF first flexion resonance falls at  $f_0 \sim 4246\text{ Hz}$ , in agreement with previous studies reported for a similar QTF.<sup>21</sup> At atmospheric pressure we measured a Q factor of 9930. For our QEPAS THz sensor demonstration we selected methanol as target gas molecule. Methanol is widely used as a solvent, detergent, or even denaturant additive for industrial ethanol, and its ingestion can be fatal due to its toxication.



**ANNUNCIARE LA  
RICERCA CHE  
VERRA'  
PRESENTATA**

# 6.2 STRUTTURA DI UN ARTICOLO SCIENTIFICO

## 6.2.2 METODO

Questa sezione descrive **come sono stati generati i risultati**.

- Dovrebbe essere sufficientemente dettagliato in modo che un ricercatore indipendente che lavora nello stesso campo possa riprodurre i risultati in modo sufficiente per consentire la convalida delle conclusioni.
- Per alcuni articoli di ricerca, è **il metodo che è nuovo**. In questo caso, è necessaria una descrizione molto più dettagliata. Per metodi standard o ben stabiliti, la denominazione del metodo può essere sufficiente.

Ci sono due obiettivi correlati da raggiungere nella sezione metodo:

1. la capacità di riprodurre i risultati
2. la capacità di giudicare i risultati.

Sebbene pochissimi lettori provino a replicare l'esperimento di un altro, i lettori più attenti tentano di giudicare la validità del lavoro che stanno leggendo.

Senza una sezione del metodo accuratamente scritta, diventa impossibile valutare la validità del lavoro.

# 6.2 STRUTTURA DI UN ARTICOLO SCIENTIFICO

## 6.2.2 METODO

La sezione metodo può includere:

- lo **sviluppo di una teoria nuova**
- la progettazione e/o realizzazione di **dispositivi specifici**
- la descrizione di **setup** utilizzato per ottenere i dati che verranno mostrati.

Una buona sezione del metodo:

- non dovrebbe solo descrivere ciò che è stato fatto e come è stato fatto, ma dovrebbe giustificare anche il design sperimentale. Tra le molte opzioni disponibili, **perché è stato scelto questo metodo?**
- dovrebbe includere le spiegazioni sulle considerazioni statistiche e/o i metodi di analisi utilizzati.
  - richiede una descrizione delle procedure di analisi dei dati se i dati grezzi (raw data) non verranno presentati

# 6.2 STRUTTURA DI UN ARTICOLO SCIENTIFICO

## 6.2.2 METODO

A scheme of the employed experimental system is shown in Fig. 1.

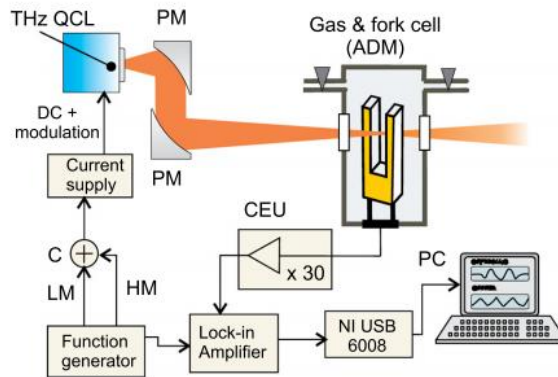


FIG. 1. Schematic of THz QCL-based QEPAS sensor. PM—paraboloidal mirror; C—power combiner; LM, HM—low-frequency modulation (triangular ramp), high-frequency modulation; CEU—control electronics unit; PC—personal computer.

A single-mode  $250\ \mu\text{m}$  wide,  $1.5\ \text{mm}$  long bound-to-continuum Fabry-Perot QCL fabricated in a single plasmon configuration and emitting at  $3.93\ \text{THz}$  ( $76.3\ \mu\text{m}$ ) (Ref. 22) was mounted on the cold finger of a continuous-flow cryostat equipped with polymethylpentene (TPX) windows ( $\sim 70\%$  transmission) and kept at a heat sink temperature of  $6\ \text{K}$ , while driven in CW mode. Despite the few hundreds Hz intrinsic linewidth,<sup>4</sup> due to temperature and electrical bias fluctuations the free running linewidth exceeds  $1\ \text{MHz}$  over few seconds time scale.<sup>23</sup>

By using a calibrated pyroelectric power meter, we measured a CW output power of  $180\ \mu\text{W}$  at  $770\ \text{mA}$  injected current. The THz beam was collimated using a  $2\ \text{in.}$  diameter ( $f/\# = 1$ )  $90^\circ$  off-axis paraboloidal reflector and focused by a second reflector ( $2\ \text{in.}$  diameter,  $f/\# = 3$ ) between the two prongs of the tuning fork, housed in a acoustic detection module (ADM) with TPX input and output windows. We achieved a focused beam waist radius of  $\sim 240\ \mu\text{m}$ , as measured with a pyroelectric camera. By measuring the radiation power transmitted through the QTF using a pyroelectric detector, we verified that  $\sim 100\%$  of the incoming laser beam was transmitted through the prongs without hitting the QTF.



## DESCRIZIONE DEL SETUP SPERIMENTALE

# 6.2 STRUTTURA DI UN ARTICOLO SCIENTIFICO

## 6.2.2 METODO

QEPAS experiments were performed by applying a sinusoidal modulation to the QCL current at the QTF resonance frequency  $f_0$ , while detecting the QTF response at the same frequency by means of a lock-in amplifier. QEPAS spectral measurements were performed by slowly scanning the laser wavelength over  $\sim 0.025 \text{ cm}^{-1}$ , applying a low-frequency (10 mHz) voltage ramp to the external analog modulation input of the current supply (ILX-LDX 3232, bandwidth 0 Hz – 250 kHz). By means of a power combiner (DC to 12 GHz), the sinusoidal dither at  $f_0$  is added to the low-frequency voltage ramp, to obtain up to  $0.01 \text{ cm}^{-1}$  optical frequency modulation. QEPAS measurement in locked-mode was performed by keeping fixed the laser wavelength on the absorption peak frequency and modulating its current at  $f_0$ . The lock-in amplifiers and a function generator (Tektronix model AFG3102) are controlled through a universal serial bus National Instruments card, respectively, using LABVIEW-based software. The piezoelectric signal generated by the QTF is amplified by a custom transimpedance amplifier (feedback resistor  $R_{fb} = 10 \text{ M}\Omega$ , gain = 30). The control electronics unit (CEU) is used to determine the QTF parameters: dynamic resistance  $R$ , Q-factor, and  $f_0$ . Unless differently specified, the lock-in time constant was set to 50 ms, corresponding to a bandwidth of 3.335 Hz.

To test our sensor, we selected methanol. In the laser emission range methanol exhibits a rotational absorption line falling at  $131.054 \text{ cm}^{-1}$  ( $\nu = 1$ ,  $K = 6$ ,  $J = 11$ )  $\leftarrow (1, 5, 10)$  with line-strength  $S = 4.28 \times 10^{-21} \text{ cm/molecule}$ , about two orders of magnitude stronger than that of the nearby methanol absorption lines.<sup>24,25</sup> Thus, we performed direct absorption spectroscopic measurements (using a 14 cm-long cell

filled with pure methanol at 2 Torr) and, as expected, we observed a main absorption line. The line-strength extracted from absorption measurements was in good agreement with the expected one. So in our QEPAS experiments we exploit the absorption measurement to fine tune the laser frequency on the selected methanol absorption line at  $131.054 \text{ cm}^{-1}$ .

Gas mixtures with different methanol concentrations have been obtained by diluting methanol vapors, collected from a reservoir held at the vapor pressure ( $\sim 120 \text{ Torr}$  at 300 K), with pressurized  $\text{N}_2$ . For measurements at low concentrations, we used a certified 100 ppm methanol/ $\text{N}_2$  gas mixture. Preliminary measurements were performed to determine the best operating conditions in terms of QEPAS signal-to-noise, as a function of gas pressure, laser current modulation depth and resonance frequency. Note that the possibility to use a lower resonance frequency with respect to standard QTF, partially relaxes the gas excess energy relaxation time requirements and allows to work at low pressures, taking advantages of the corresponding larger Q factors. The best operating conditions have been observed at 10 Torr pressure and 600 mV peak-to-peak modulation voltage. Under these conditions, the physical parameters of the QTF, using  $\text{N}_2$  as gas carrier, were  $Q = 76300$ ,  $f_0 = 4246.73 \text{ Hz}$ , and  $R = 6.5 \text{ M}\Omega$ . From these data, we extracted a QTF thermal noise of  $0.12 \mu\text{V}$ , about one order of magnitude smaller than that typically observed for standard QTFs.<sup>15,18</sup>

# 6.2 STRUTTURA DI UN ARTICOLO SCIENTIFICO

## 6.2.3 RISULTATI E DISCUSSIONE

I risultati di un documento, se inclusi nella propria sezione, dovrebbero essere molto brevi. È semplicemente una presentazione dei risultati ottenuti corrispondenti ai metodi descritti nella sezione precedente, organizzata per renderli accessibili al lettore.

Spesso, questi risultati sono presentati in **tabelle e / o grafici**, SEMPRE combinati con una loro discussione. Non si presentano grafici o tabelle senza che segua una discussione.

Un obiettivo importante nella presentazione dei risultati è quello di designare chiaramente quei risultati che sono nuovi (mai pubblicati prima), citando correttamente i risultati che sono stati precedentemente pubblicati.

Questa discussione generalmente passa attraverso le fasi di riepilogo dei risultati, discutendo se i risultati sono attesi o inattesi, confrontando questi risultati con lavori precedenti, interpretando e spiegando i risultati (spesso confrontandoli con una teoria o un modello) e ipotizzando sulla loro generalità.

# 6.2 STRUTTURA DI UN ARTICOLO SCIENTIFICO

## 6.2.3 RISULTATI E DISCUSSIONE

La sezione **Discussione** può invertire il formato dell'introduzione, passando dallo specifico (i risultati generati in questo lavoro) al generale (come questi risultati dimostrano un principio generale che è più ampiamente applicabile).

Dovrebbero essere discussi anche eventuali problemi riscontrati, soprattutto se potrebbero influenzare il modo in cui i risultati devono essere interpretati.

Alcune insidie comuni nella stesura dei risultati e nella sezione di discussione sono:

- la mancanza di organizzazione
- la presentazione di risultati che non sono mai stati discussi
- la presentazione di discussioni che non si riferiscono a nessuno dei risultati
- la presentazione dei risultati e la discussione in ordine cronologico piuttosto che in ordine logico, ignorando i risultati che non supportano le conclusioni o traggono conclusioni dai risultati senza validi argomenti logici per sostenerle.

# 6.2 STRUTTURA DI UN ARTICOLO SCIENTIFICO

## 6.2.3 RISULTATI E DISCUSSIONE

A representative spectral scan of 0.75% methanol in  $N_2$  gas mixture is shown in Fig. 2(a). With a pressure broadening coefficient of 10 MHz/Torr (7.4 MHz/millibar) (Ref. 26) the expected line-width is  $\sim 100$  MHz (half width at half maximum, HWHM), with a negligible Doppler contribution (4.5 MHz HWHM). We used this estimate to convert the horizontal scale from time to frequency span (MHz). Note that the laser linewidth is much lower than the spectral line width of the methanol absorption feature. On the same energy span, in Fig. 2(b) are reported the line-strengths of the main methanol transitions (vertical bars), as tabulated in the Jet Propulsion Laboratory (JPL) database.<sup>25</sup> In the inset of Fig. 2(a) is shown a QEPAS spectral scan obtained for a certified 100 ppm methanol in  $N_2$  gas mixture, using a 3 s lock-in integration time. Considering the noise fluctuations  $\pm 25 \mu V$  and the QEPAS peak signal for 100 ppm methanol concentration ( $\sim 170 \mu V$ ), we can extract for our THz QEPAS sensor a  $1\sigma$  detection limit of  $\sim 15$  ppm at 3 s integration time.

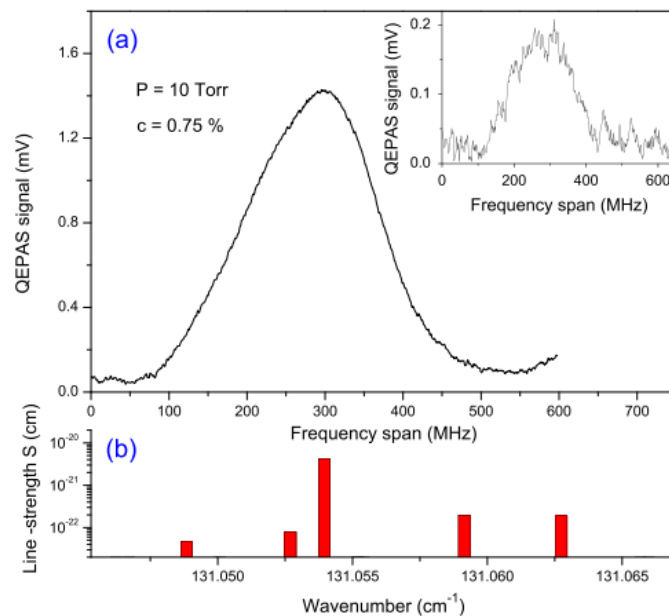


FIG. 2. (a) Spectral scan of 0.75% methanol in  $N_2$  at  $P = 10$  Torr, acquired with a modulation depth of 12 mA ( $\sim 100$  MHz) and 500 ms integration time. Inset: QEPAS acquisition of a methanol/ $N_2$  sample with a certified concentration of 100 ppm and lock-in integration time of 3 sec. The noise fluctuations are  $\sim \pm 25 \mu V$ . (b) Line strengths of the main methanol transitions (vertical bars), as reported in the JPL database,<sup>25</sup> falling in the energy range corresponding to the frequency span of Fig. 2(a).

# 6.2 STRUTTURA DI UN ARTICOLO SCIENTIFICO

## 6.2.3 RISULTATI E DISCUSSIONE

Stepwise concentration measurements were performed to verify the linearity of the QEPAS signal as a function of the methanol concentration. The system was operated in the locked mode, i.e., with the QCL frequency set to the center of the absorption line. Under this condition an optical laser power of  $40\ \mu\text{W}$  is focused on the QTF. In Fig. 3, the mean value of the QEPAS peak signal is plotted for different methanol concentrations from 6.5% down to 0.01% (100 ppm). The associated error bars take into account both the QEPAS signal fluctuations (standard deviation) and the uncertainty on the methanol concentration (uncertainty on the reading of the pressure gauge of  $\pm 0.2\ \text{Torr}$ ). The experimental data show the expected linear dependence of the QEPAS signal from the methanol concentration.

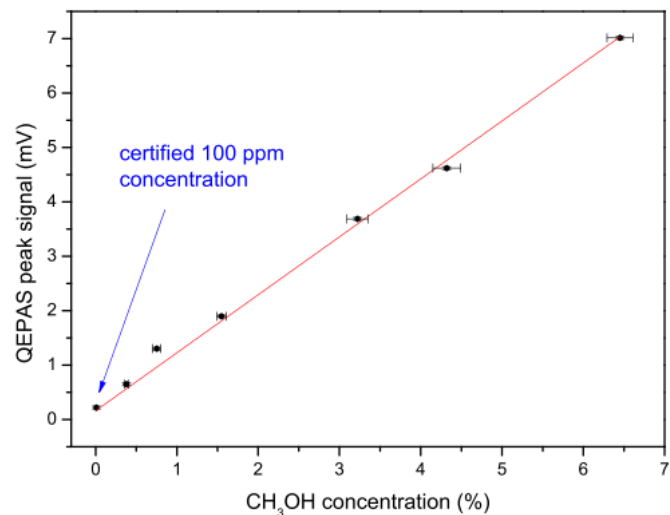


FIG. 3. Mean value of the QEPAS peak signals measured for gas mixture samples with different methanol concentrations in locked mode at 10 Torr pressure. The red line is a linear fit of the data ( $R^2=0.9963$ ). The small deviations from the linear trend are partially due to uncertainty in the gas mixture concentration.

# 6.2 STRUTTURA DI UN ARTICOLO SCIENTIFICO

## 6.2.3 RISULTATI E DISCUSSIONE

In order to determine the best achievable sensitivity of the QEPAS sensor we performed an Allan variance analysis measuring and averaging the QEPAS signal at zero methanol concentration (pure N<sub>2</sub>). The obtained Allan deviation in ppm is shown in Fig. 4. For a 4 sec averaging time (i.e., 0.04 Hz bandwidth), we achieve a detection sensitivity of 7 ppm, corresponding to a minimum absorption coefficient  $\alpha_{\min} = 9.5 \times 10^{-7} \text{ cm}^{-1}$  (laser power of  $\sim 40 \mu\text{W}$ ). The calculated NNEA is  $2 \times 10^{-10} \text{ cm}^{-1}\text{W}/\text{Hz}^{1/2}$  ( $1\sigma$ ), comparable with the best result obtained in the mid-IR<sup>18</sup> and at least one order of magnitude better than those obtainable with room-temperature pyroelectric detectors and in strong competition with the sensitivities achieved with the most sensitive cryogenic bolometers.

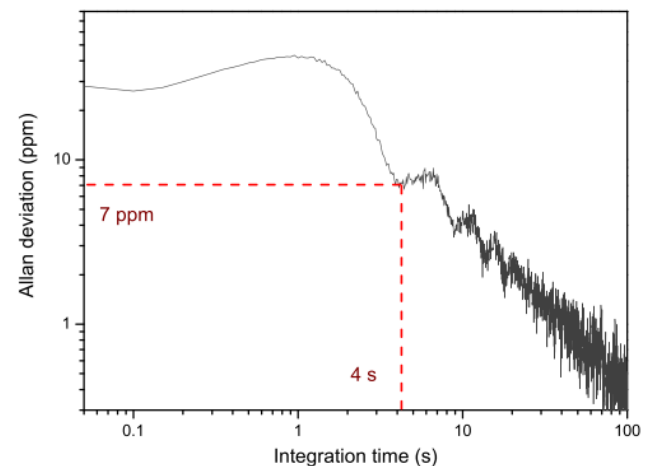


FIG. 4. Allan deviation in ppm of the QEPAS signal as a function of the integration time. The initial growth from 0.1 to 1 s reflects delays due to the signal sampling time (200 ms). The oscillations at integration time larger than 4 s are due to slow mechanical drifts of the ADM mounting.

# 6.2 STRUTTURA DI UN ARTICOLO SCIENTIFICO

## 6.2.4 CONCLUSIONI

La sezione Conclusioni fornisce un breve riassunto dei risultati e della discussione, ma dovrebbe essere più che un sommario.

Dopo aver mostrato come ogni domanda di ricerca posta nell'introduzione è stata affrontata, le implicazioni dei risultati dovrebbero essere enfatizzate, spiegando come il lavoro è significativo. L'obiettivo qui è quello di fornire le affermazioni più generali che possono essere supportate dalle prove.

Quando si scrive questa sezione, bisogna immaginare un lettore che legge l'introduzione, sfoglia le figure, quindi salta alla conclusione.

Il **primo obiettivo** di una conclusione è di fornire in modo conciso i messaggi chiave che l'autore desidera trasmettere. Non dovrebbe ripetere gli argomenti esposti nei risultati e nella discussione, ma solo le conclusioni finali e più generali.

Il **secondo obiettivo** della conclusione è fornire una prospettiva futura sul lavoro. Potrebbe trattarsi di raccomandazioni per il pubblico o di una tabella di marcia per lavori futuri.

# 6.2 STRUTTURA DI UN ARTICOLO SCIENTIFICO

## 6.2.4 CONCLUSIONI

In conclusion, we extend the possibility to employ the QEPAS technique in the THz spectral range, using a THz QCL source and a custom QTF. The simple apparatus architecture and the independence of the detection unit from the laser frequency make the proposed sensor highly versatile in the spectral domain actually accessible to THz QCLs. In addition, the possibility to employ high power CW ( $\sim 100$  mW) THz QCLs for the detection of strong THz absorbing molecules like OH or HF, having line-strengths of the order of  $10^{-18}$  cm, would allow QEPAS detection sensitivity in the few parts per trillion concentration range. Furthermore, the possibility to implement compact QEPAS THz systems, with no optical detector needed, based on portable closed-cycle Stirling cryo-cooler opens the way to the use of THz sensor systems for in-situ security and environmental monitoring.

# 6.2 STRUTTURA DI UN ARTICOLO SCIENTIFICO

## 6.2.5 ABSTRACT

Nonostante l'abstract sia la parte di un articolo che precede l'introduzione, tipicamente nella stesura di un lavoro è la parte che si cura per ultima.

L'abstract deve rispondere in maniera concisa a due domande:

- **Cosa hai fatto ?**
- **Cosa hai ottenuto ?**

Vanno quindi evitati i dettagli e riportati solo i risultati/commenti che si ritengono rappresentativi del lavoro che il lettore andrà a leggere.

Quasi tutte le riviste pretendono una limitazione del numero massimo di parole con cui scrivere un Abstract.

A quartz enhanced photo-acoustic sensor employing a single-mode quantum cascade laser emitting at 3.93 Terahertz (THz) is reported. A custom tuning fork with a 1 mm spatial separation between the prongs allows the focusing of the THz laser beam between them, while preventing the prongs illumination. A methanol transition with line-strength of  $4.28 \times 10^{-21}$  cm has been selected as target spectroscopic line. At a laser optical power of  $\sim 40 \mu\text{W}$ , we reach a sensitivity of 7 parts per million in 4s integration time, corresponding to a  $1\sigma$  normalized noise-equivalent absorption of  $2 \times 10^{-10} \text{ cm}^{-1}\text{W/Hz}^{1/2}$ . © 2013 AIP Publishing LLC. [<http://dx.doi.org/10.1063/1.4812438>]

# 6.2 STRUTTURA DI UN ARTICOLO SCIENTIFICO

## 6.3 CENNI SULLO STILE SCIENTIFICO

**“Have something to say, and say it as clearly as you can. That is the only secret of style.”**

**—Matthew Arnold**

Lo stile è un concetto stratificato e imparare a migliorarlo significa prima padroneggiare parole e grammatica, poi frasi chiare e accurate, poi paragrafi che comunicano bene pensieri complessi e infine un insieme organizzato che contribuisce alla conoscenza scientifica.

Lo scopo di un documento di ricerca è presentare alcuni nuovi risultati, spiegarne il significato e posizzionarli in modo coerente all'interno del corpus di conoscenze esistente.

Alcune "regole" comuni di buona scrittura:

- non usare la voce passiva
- fare in modo che l'azione coinvolga le persone
- evitare *noun phrases* (sostantivi aggettivati)

generalmente non si applicano allo stile scientifico.

# 6.2 STRUTTURA DI UN ARTICOLO SCIENTIFICO

## 6.3 CENNI SULLO STILE SCIENTIFICO

Ad esempio, la posizione scientifica sulla verità rende lo scienziato sostituibile; qualcuno avrebbe potuto fare gli stessi esperimenti/considerazioni/simulazioni. Per enfatizzare questo, gli scienziati tentano di allontanarsi dalla discussione.

Invece di dire:

*"We performed an experiment"*

che mette gli autori in primo piano e al centro, usiamo regolarmente la voce passiva:

*"An experiment was performed"*

Ciò non significa che i pronomi in prima persona siano vietati.

Anche se chiunque avrebbe potuto eseguire questo esperimento, sono gli autori a proporre un nuovo approccio, a incoraggiare una nuova direzione o a suggerire un nuovo design. In questi casi, gli autori non sono sostituibili e le loro voci possono passare. L'uso di "io" o "noi" nell'introduzione e nelle conclusioni è comune, ma non nelle sezioni sperimentali o dei risultati.

# 6.2 STRUTTURA DI UN ARTICOLO SCIENTIFICO

## 6.3 CENNI SULLO STILE SCIENTIFICO

Lo stile scientifico tende anche a racchiudere la complessità nei suoi nomi (e nei *noun phrases*) piuttosto che nella struttura di una frase.

Consideriamo ad esempio questa frase:

*"Jane saw Bob on the hill with the telescope.."*

La frase descrive una situazione in maniera ambigua (chi ha il telescopio?), ed è l'ambiguità, non la complessità, che lo stile scientifico evita.

La scrittura scientifica impiega spesso frasi *noun phrases* con strutture semplici:

*"Sidewall sensing in a CD-AFM involves continuous lateral dithering of the tip."*

Alcuni scrittori gonfiano la loro lingua nel tentativo di sembrare più professionali o profondi. Quale di queste due frasi pensi sia più chiara?

*"In Figure 2, the x and y axes represent the cavity diameter and the filling ratio, respectively."*

*"In Figure 2, the filling ratio is plotted as a function of the cavity diameter."*

# 6.2 STRUTTURA DI UN ARTICOLO SCIENTIFICO

## 6.3 CENNI SULLO STILE SCIENTIFICO

Uno scrittore scientifico dovrebbe cercare di insegnare ai lettori qualcosa, non di impressionarli.

Il modo più semplice per farlo è quello di argomentare usando le frasi più semplici, quindi rivedere, riscrivere e rivedere con l'accuratezza, la precisione e la chiarezza in mente.

Dormiteci sopra, lasciate che qualcun altro lo legga, quindi rivedetelo di nuovo.

La scrittura è principalmente l'atto di riscrivere, ed è lavoro.